

AF 17/919/SERCE
100542 80 OKU X3000

Fig. 1



muscle org. pl

AF 17/919/SERCE
100715 00 0X11 47000

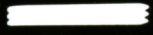
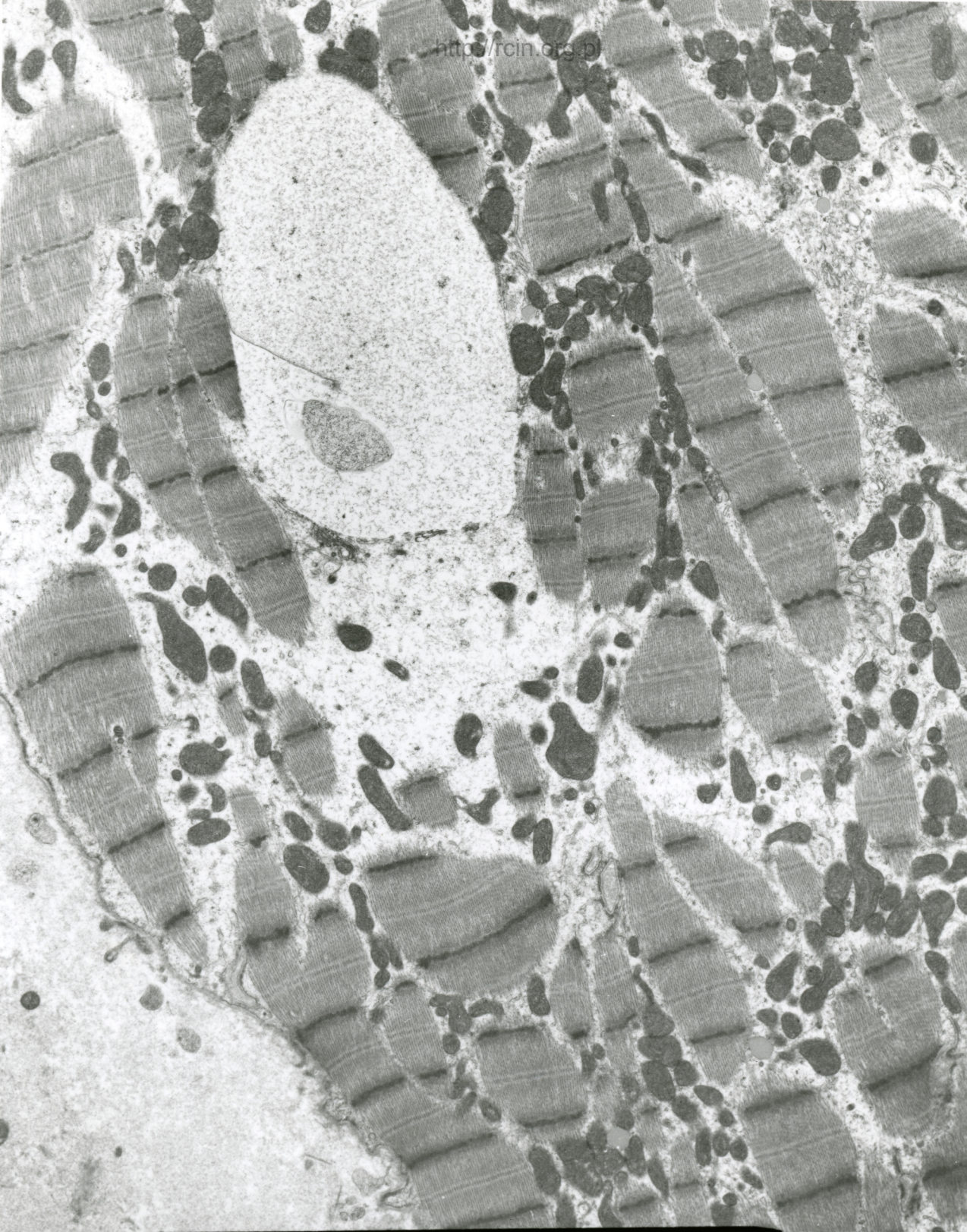
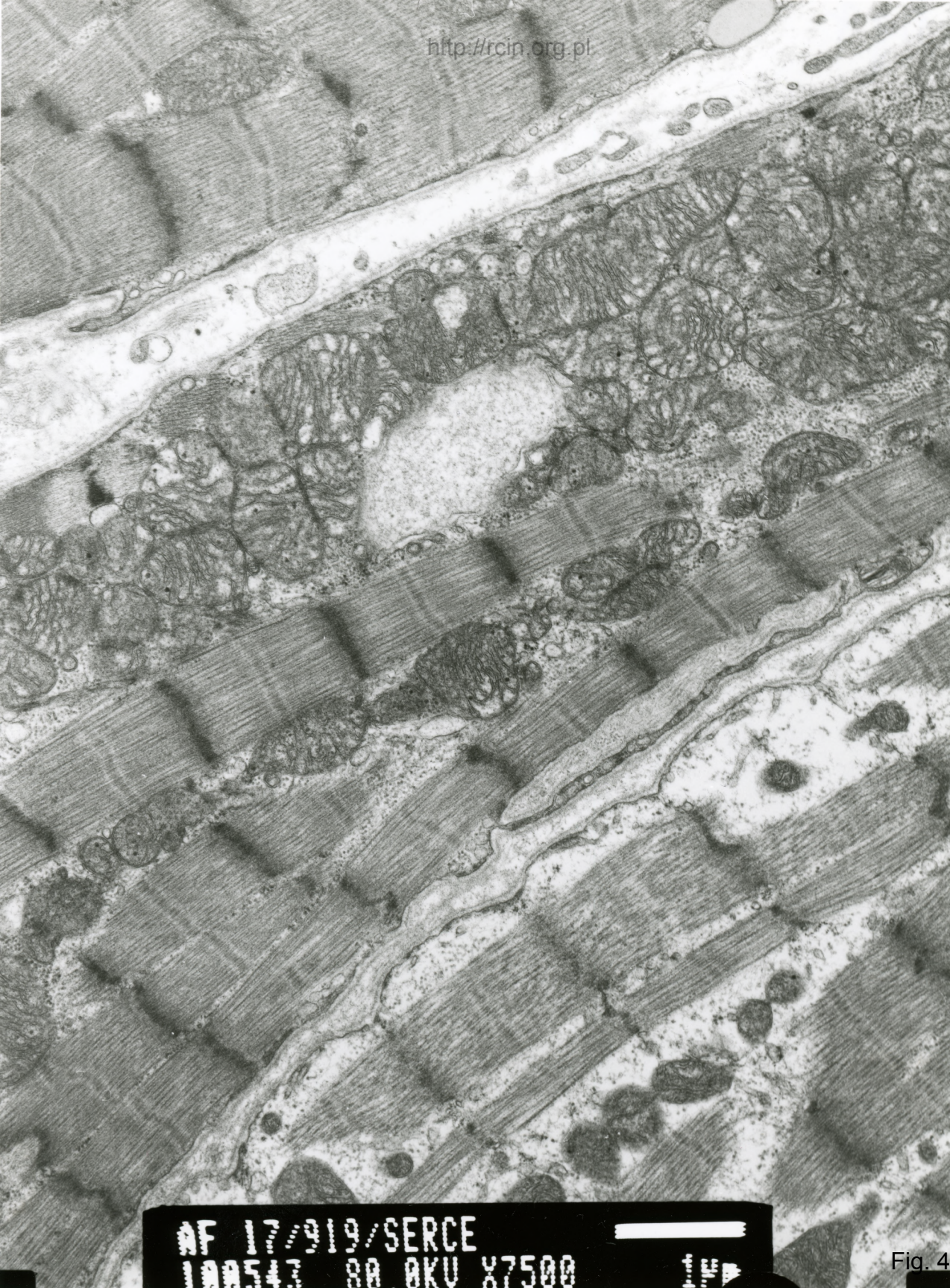


Fig. 2



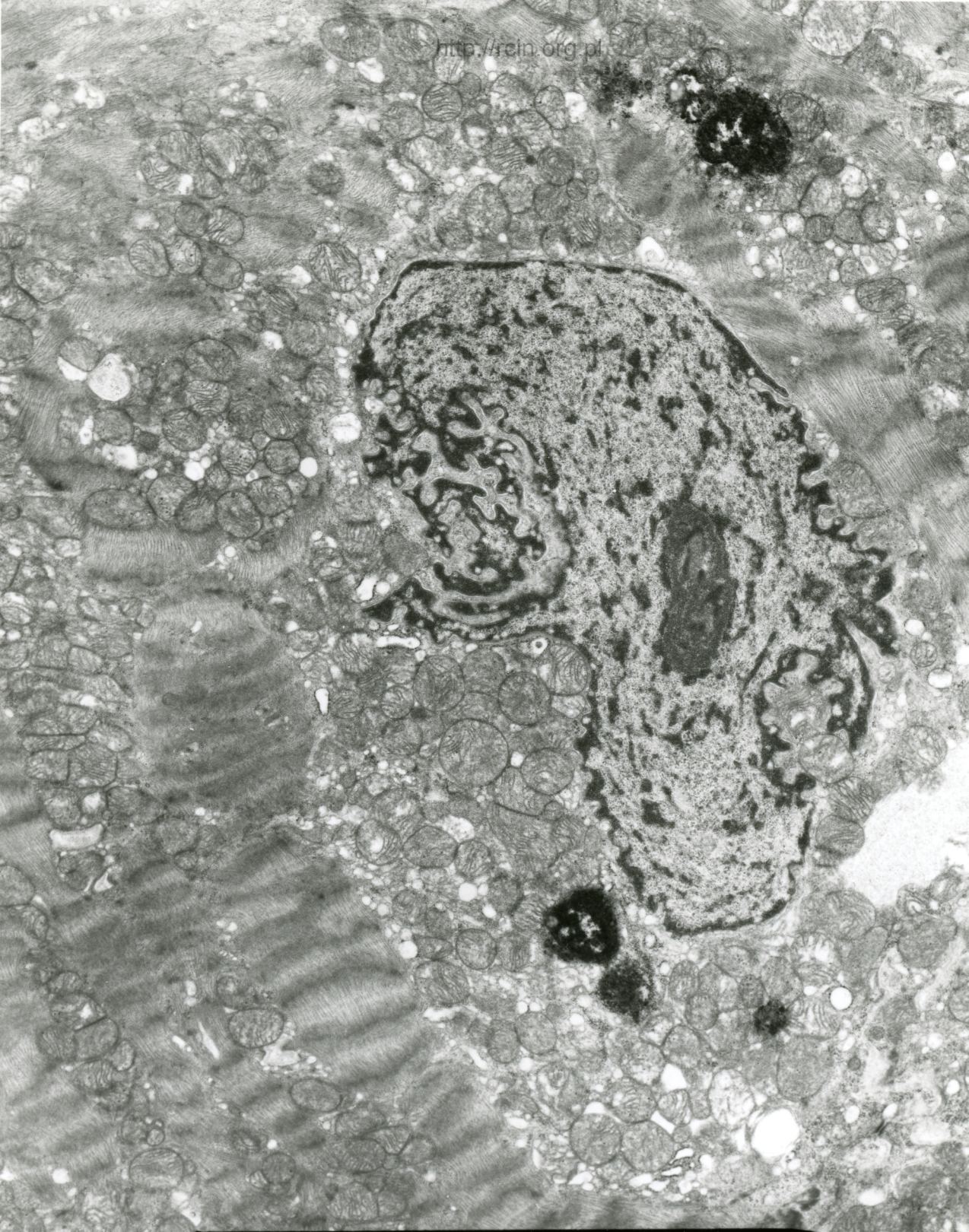
AF 17/919/SERCE
100541 80 AKU X3000 24

Fig. 3



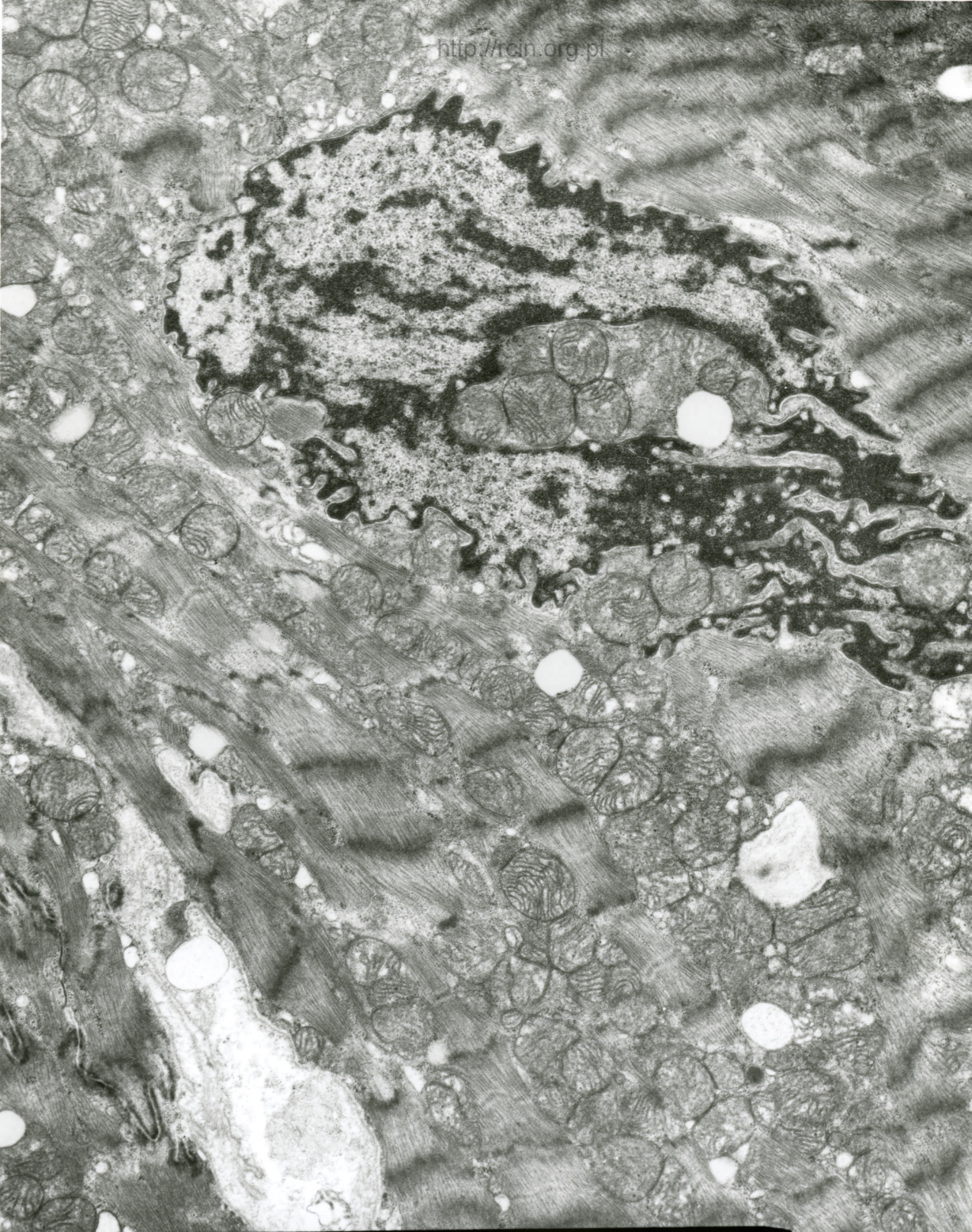
AF 17/919/SERCE
100543 80 OKU X7500

Fig. 4



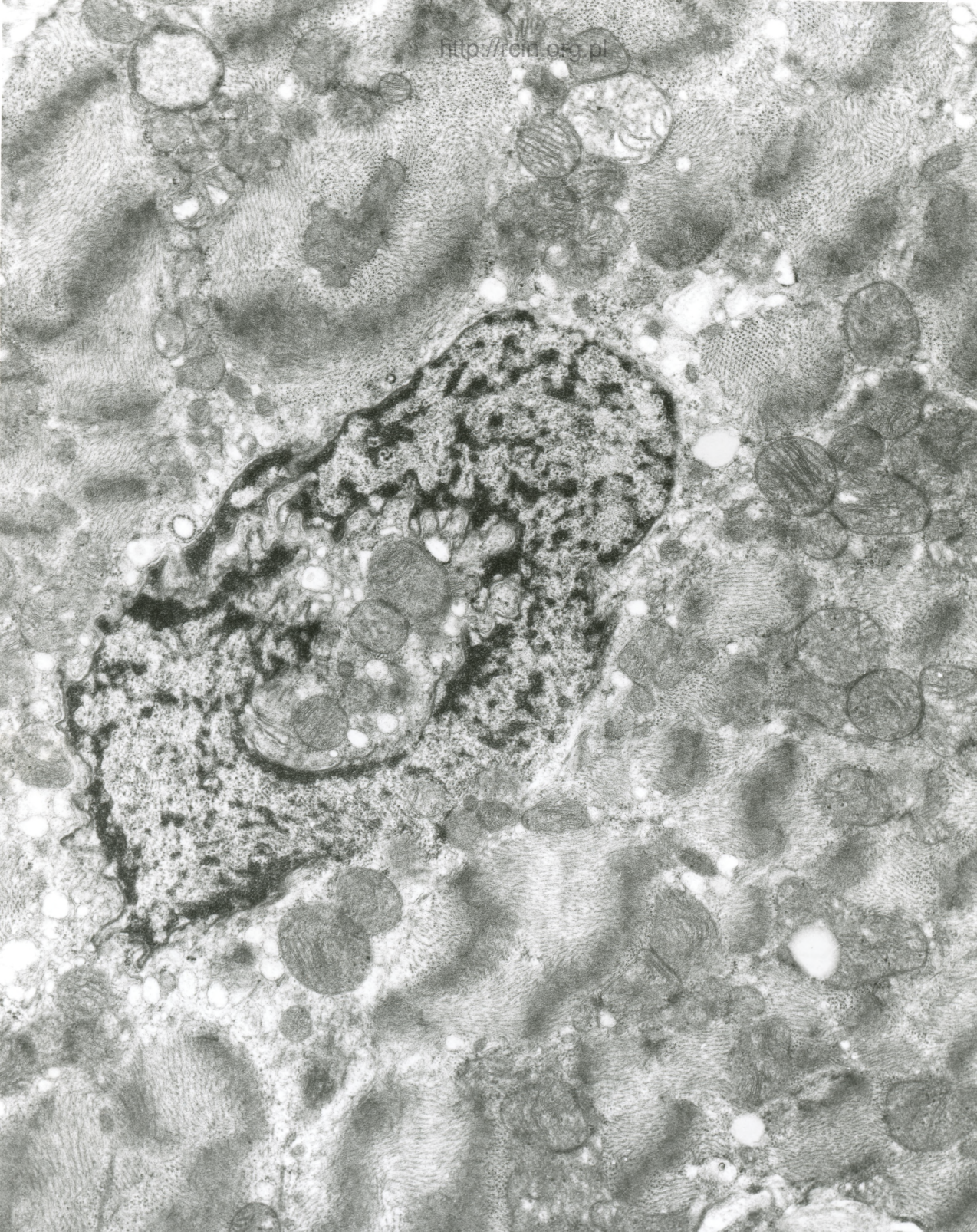
AF 17/919/SERCE
100536 80 AKU X4000 24

Fig. 5



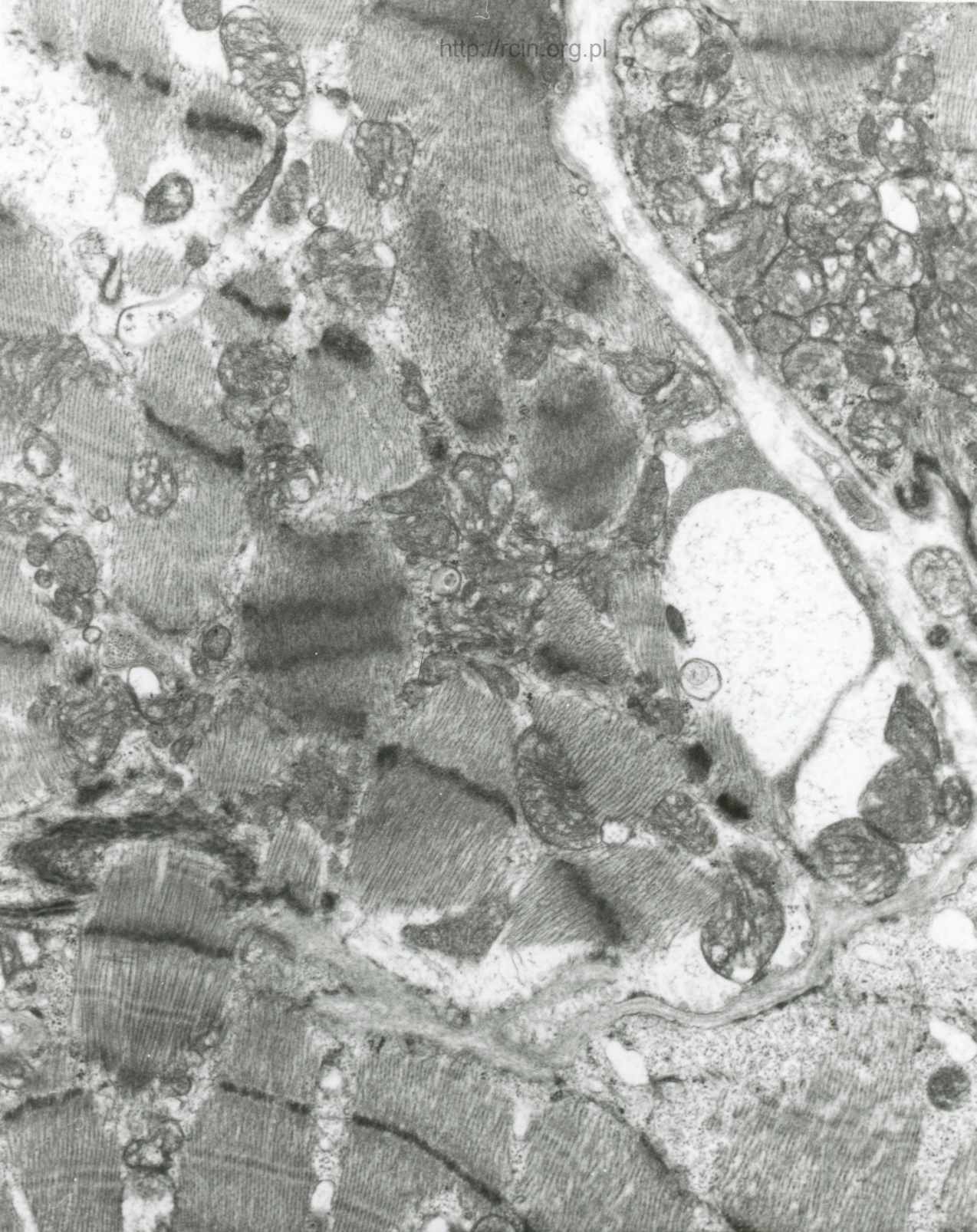
AF 17/919/SERCE
100540 RA AKU X5000

Fig. 6



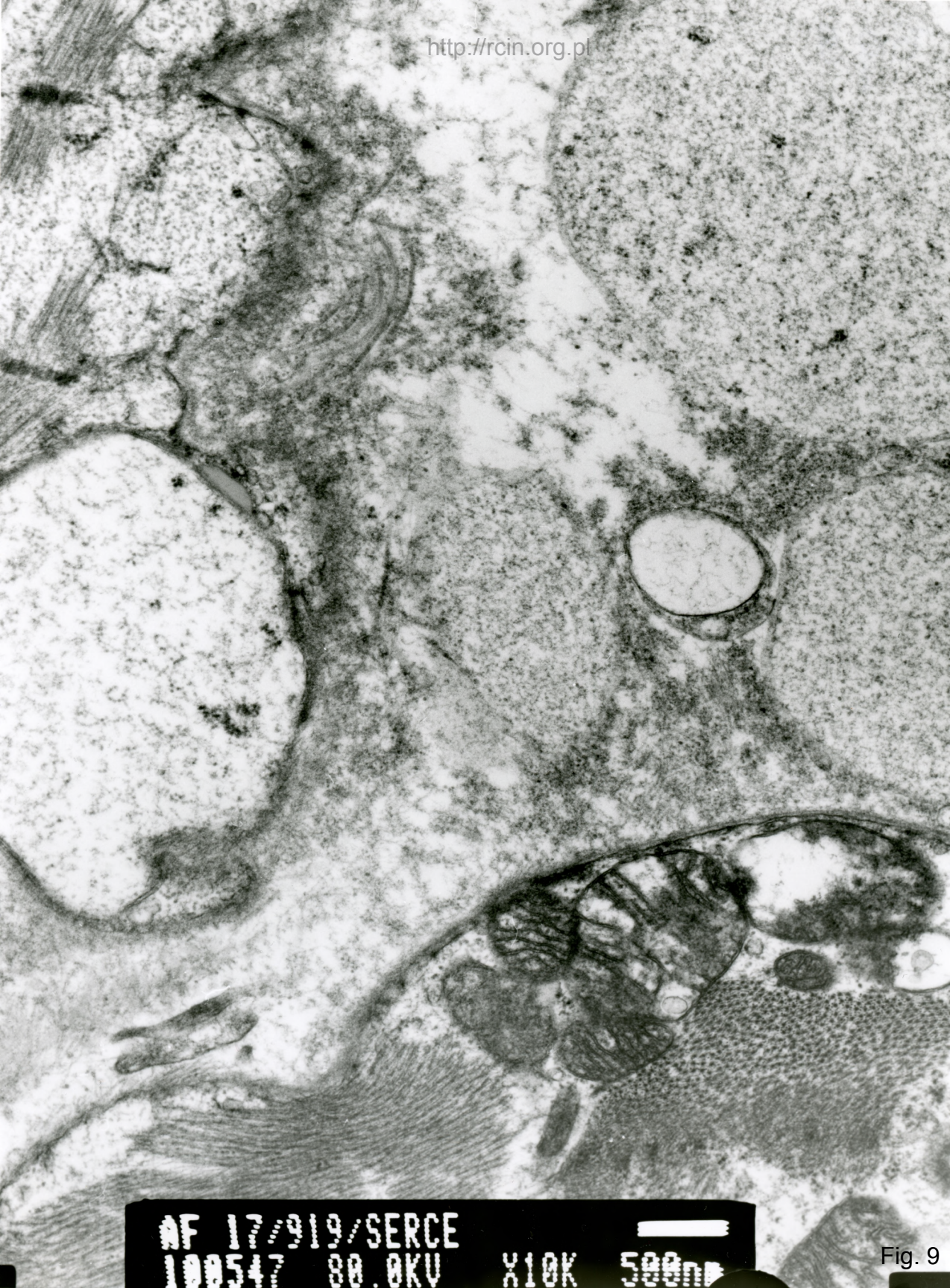
AF 17/919/SERCE
100539 80 BKU X6000

Fig. 7



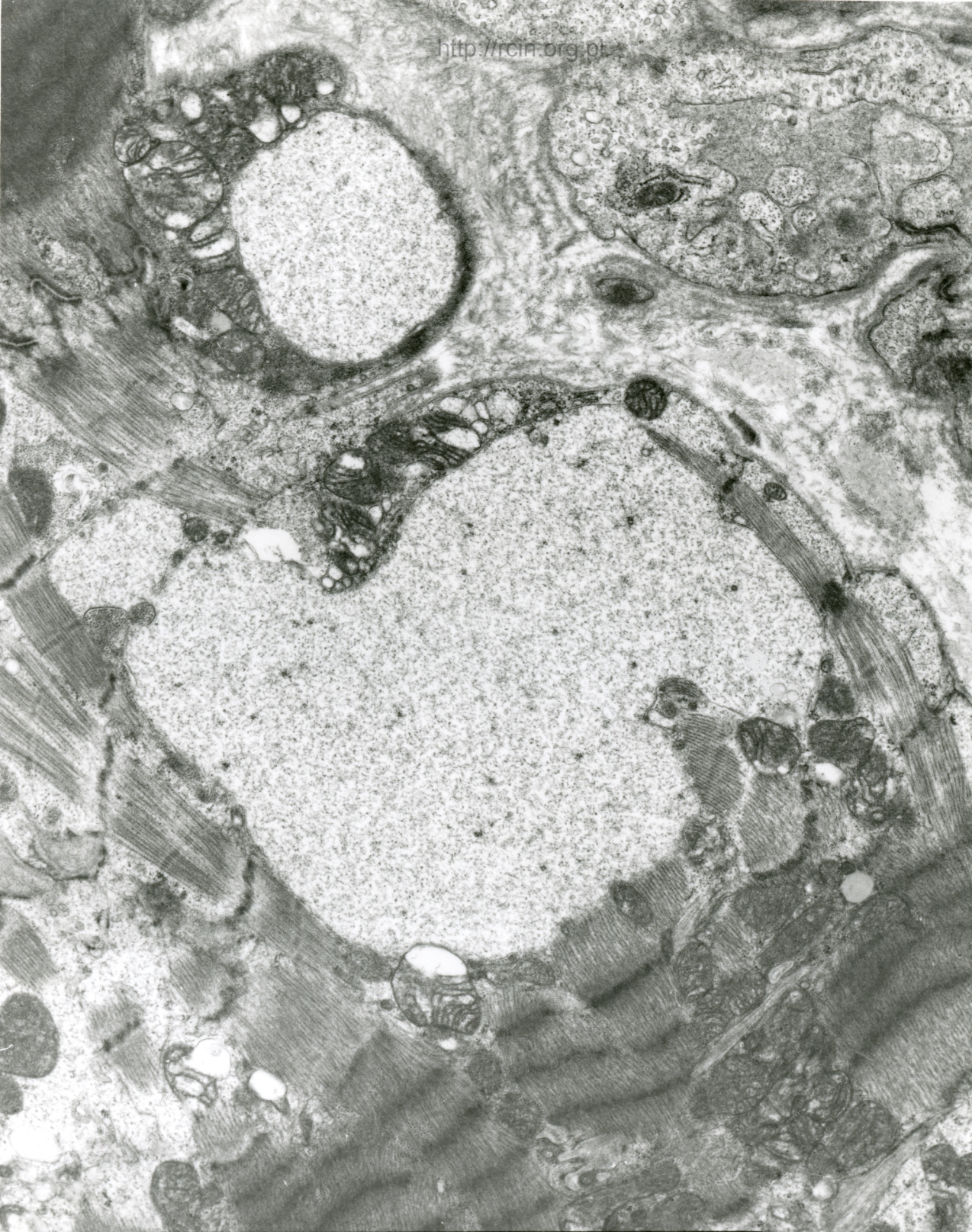
AF 17/919/SERCE
100544 80.0KV X6000

Fig. 8



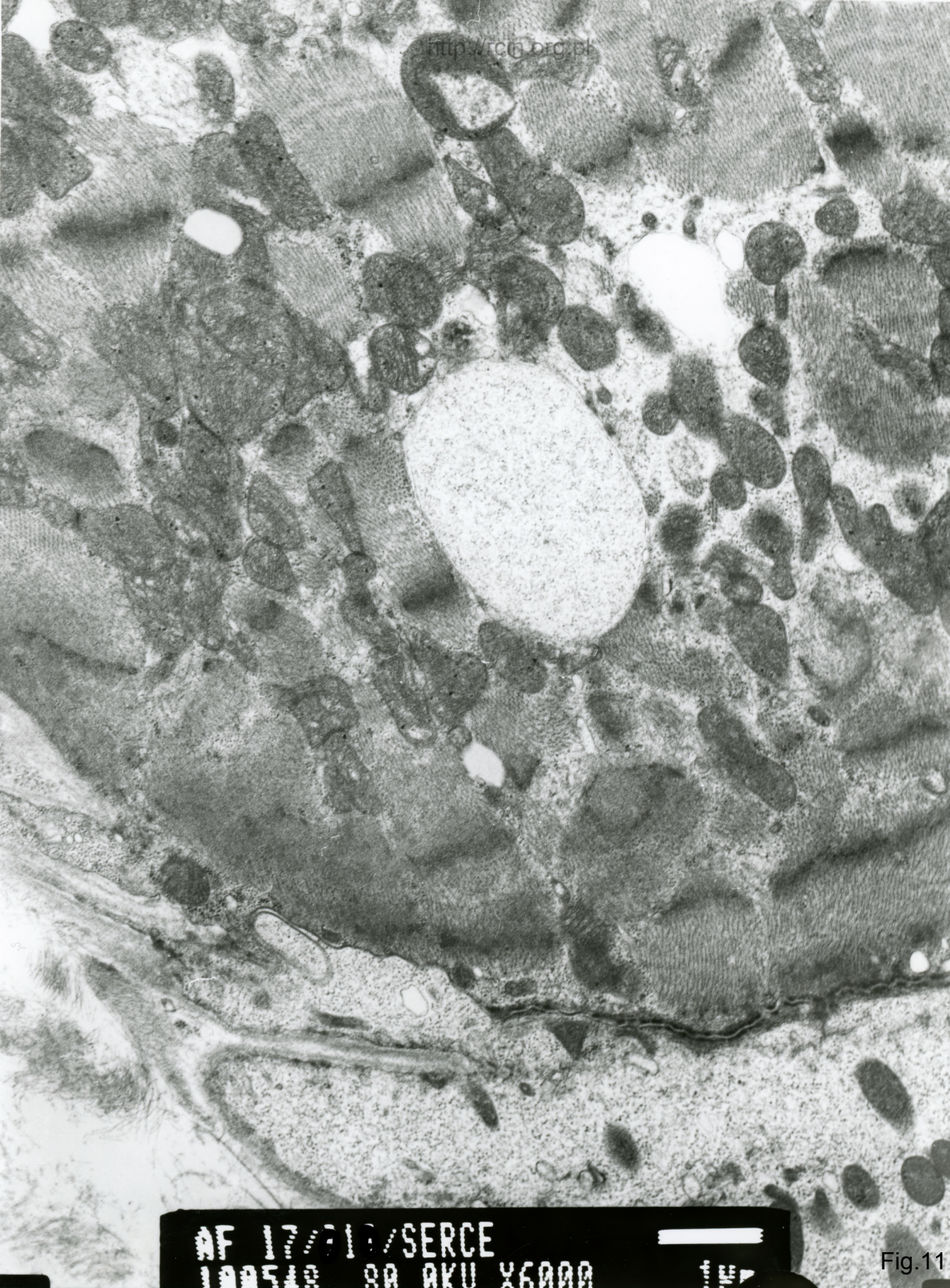
AF 17/919/SERCE
100547 80.0KV X10K 500nm

Fig. 9



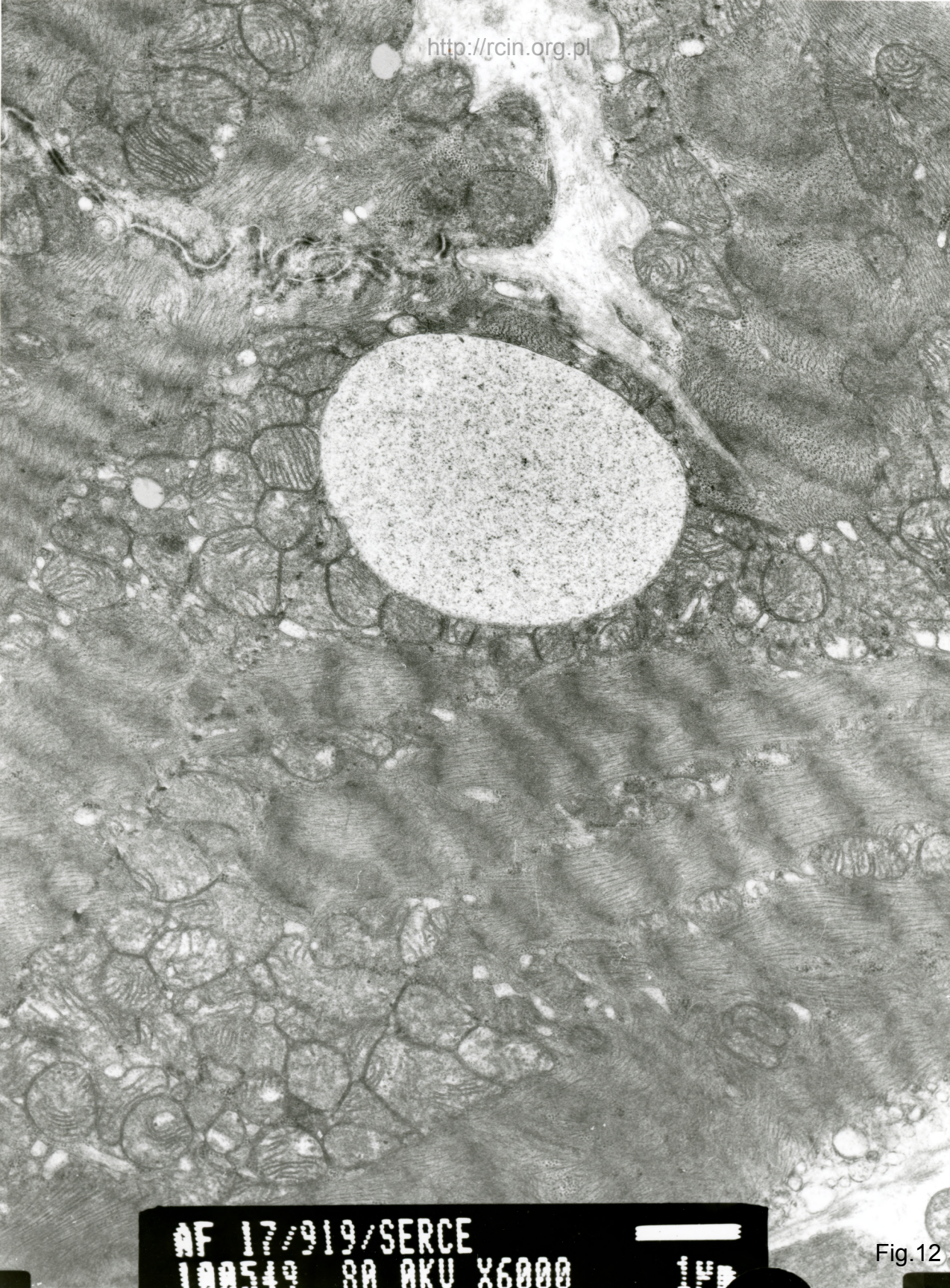
AF 17/919/SERCE
100545 80 AKU X5000

Fig.10



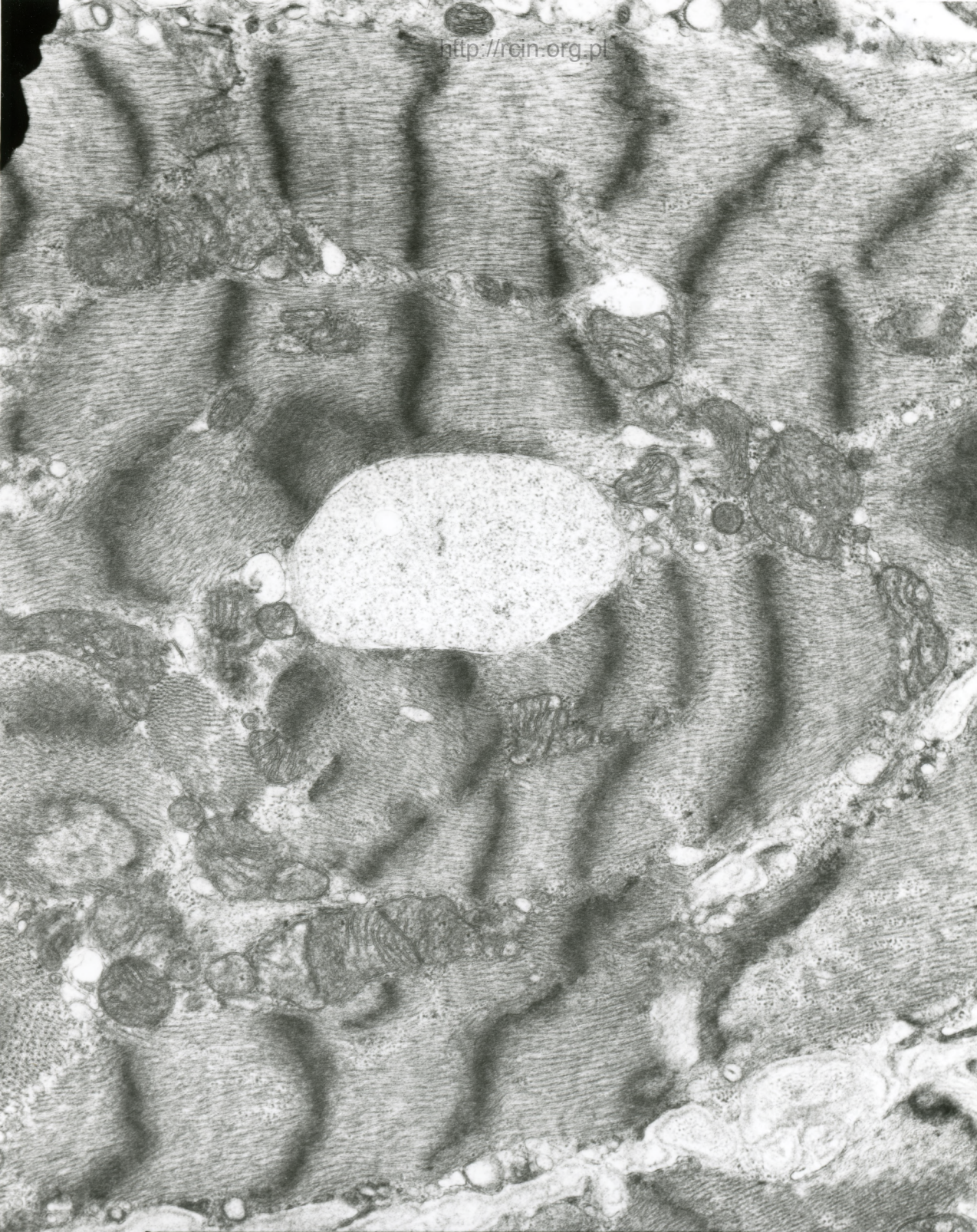
AF 17/71/SERCE
100540 80 AKU X6000

Fig.11



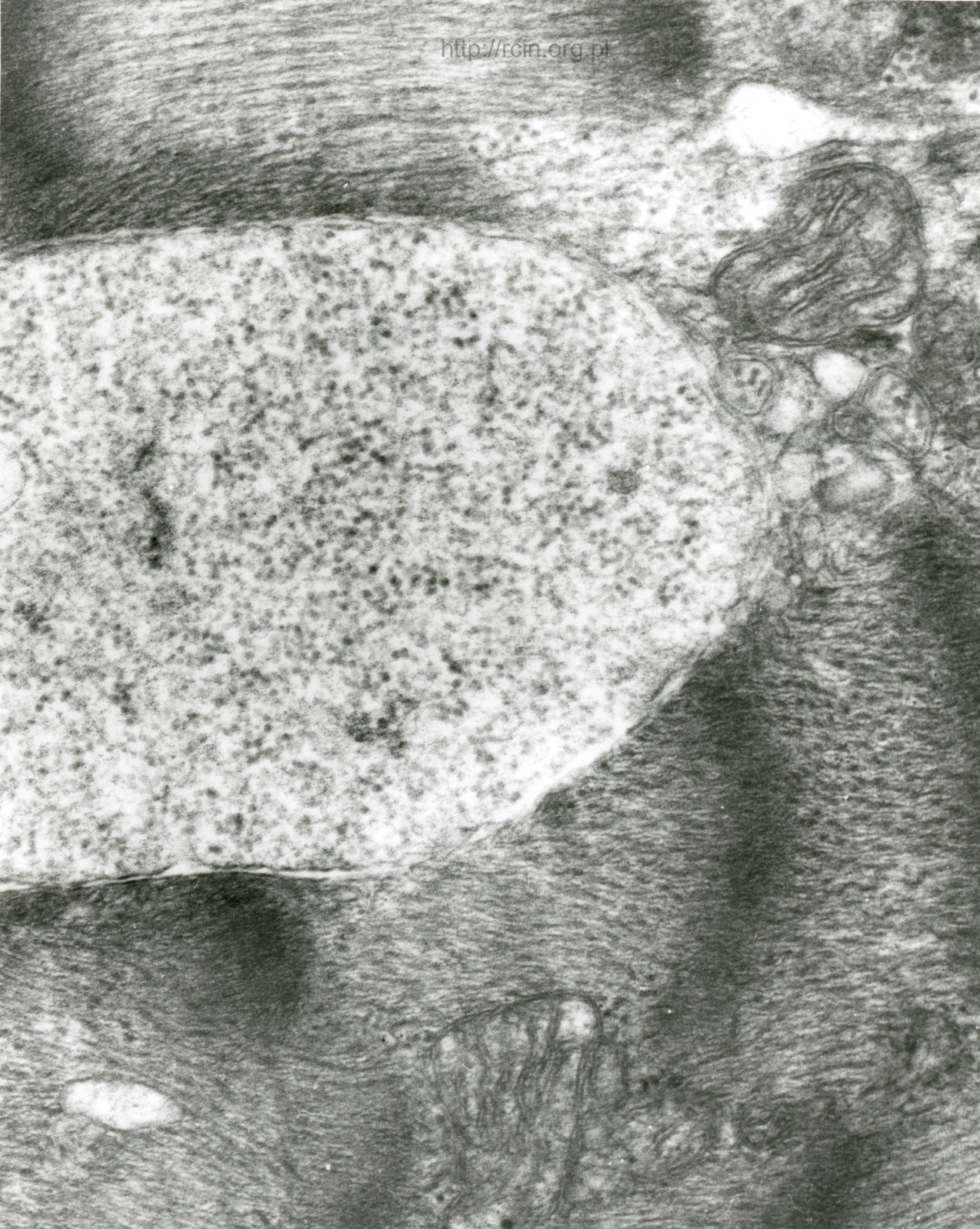
AF 17/919/SERCE
100549 80 AKU X6000

Fig.12



NF 17/919/SERCE
100537 80.0KV X7500

Fig.13



AF 17/13/SERCE
100538 80.0KV X25K 200nm

Fig.14

17/10 serce

Analiza elektronowo-mikroskopowa wykazała znaczne nieprawidłowości w budowie ultrastrukturalnej kardiomiocytów. Obserwowano zaburzenia w przebiegu miofibryli oraz ich dezorganizację, a na dużych obszarach całkowity zanik. (Fig. 1-4). Jądra kardiomiocytów były zmienione, o nieprawidłowym kształcie, charakteryzujące się licznymi wgłobieniami oraz w niektórych pęknięciami w otoczce jądrowej, co wiązało się z penetracją organelli do ich wnętrza (Fig.5-7). Część mitochondriów wykazywała uszkodzenia grzebieni (Fig. 8,9). W sarkoplazmie obserwowano skupiska ziaren glikogenu otoczone błoną (Fig.10-14).

Electron-microscopic analysis revealed significant abnormalities in the ultrastructure of cardiomyocytes. Myofibrillar disruption and disorganization, and, in large areas, a complete atrophy of myofibrils were observed (Figs. 1-4). Cardiomyocytes' nuclei were altered, characterized by numerous indentations in the nuclear envelope, and, in some cases breaks in the membrane, which was associated with penetration of cellular organelles into their interior (Figs. 5-7). Some mitochondria were partially devoid of mitochondrial cristae (Figs. 8,9). Membrane-surrounded clusters of glycogen granules were observed in the sarcoplasm (Figs. 10-14).